

УДК 539.214

**О ВЛИЯНИИ ЭЛЕКТРИЧЕСКОГО ТОКА
И МАГНИТНОГО ПОЛЯ
НА ВЗАИМОДЕЙСТВИЕ ДИСЛОКАЦИЙ
С ТОЧЕЧНЫМИ ДЕФЕКТАМИ В МЕТАЛЛАХ**

И. Л. Батаронов, А. М. Рощупкин

Рассмотрены явления, оказывающие влияние на взаимодействие краевых дислокаций с точечными дефектами в присутствии электрического тока и магнитного поля. Проанализирована их роль в формировании электропластической деформации (ЭПД) металлов, содержащих примеси.

Развитие экспериментальных исследований ЭПД и ее технических приложений ставит вопрос о влиянии примесей на ЭПД, особенно в связи с обнаруженным ростом величины эффекта при увеличении концентрации примесных атомов [1-4]. Одним из механизмов, ответственных за ЭПД, предполагается изменение электростатического взаимодействия дислокаций с примесными атомами в присутствии электрического поля [1, 3]. Однако отсутствие соответствующих вычислений не позволило оценить вклад указанного механизма в примесную активацию ЭПД. К тому же не обсуждался вопрос о возможном влиянии магнитного поля, вызываемого протекающим по металлу током, на взаимодействие дислокаций с примесями. Этот эффект интересен также сам по себе как возможный механизм воздействия внешнего магнитного поля на пластическую деформацию металлов.

1. О единой природе упругого и
электростатического взаимодействия
дислокаций с точечными дефектами в металлах

Во взаимодействии дислокаций с точечными дефектами (ТД) выделяют ряд слагаемых различной физической природы [5], среди которых наиболее важными считаются упругое и электростатическое взаимодействия. Последнее впервые было рассчитано в [6], однако некорректный учет электронной экранировки привел к заниженному результату, который впоследствии был исправлен в [7]. Обзор более поздних работ, а также последовательный анализ различных вкладов в энергию взаимодействия $E_{\text{вз}}$ дислокаций с ТД дан в работе [8]. К сожалению, указанные исследования обладают одним принципиальным недостатком, затронутым еще в [8] и вытекающим из того факта, что и «упругое», и «электростатическое» взаимодействия в конечном итоге обусловлены одними и теми же силами электрического происхождения. Игнорирование этого обстоятельства при расчете различных слагаемых в $E_{\text{вз}}$ с последующим их объединением фактически приводит к двойному учету эффектов рассматриваемого взаимодействия. Избежать указанной методической погрешности можно, только произведя расчет в рамках единого подхода и прибегая к разделению различных вкладов уже в конечном результате.

ТД, обладающий по отношению к атомам металла избыточной валентностью ΔZ [9], создает вокруг себя электрическое поле с потенциалом [10]

$$\varphi(r) = \frac{e\Delta Z}{r} \exp(-q_{TF}r). \quad (1)$$

Здесь e — элементарный разряд,

$$q_{TF} = [4\pi e^2 D(\varepsilon_F)]^{1/2} \quad (2)$$

— константа экранирования Томаса—Ферми, $D(\varepsilon_F)$ — плотность состояний на уровне Ферми ε_F . Действие поля (1) на ионы металла при континуальном описании характеризуется объемной плотностью сил [11]

$$\mathbf{f} = -en_0 \nabla \varphi, \quad (3)$$

где n_0 — концентрация электронов проводимости. Воспользовавшись известной формулой [12]

$$\Delta V = \frac{1}{3K} \int \mathbf{r} \cdot \mathbf{f} dV, \quad (4)$$

где K — модуль всестороннего сжатия металла, вычислим порождаемое силами (3) изменение его объема ΔV . Подставляя для этого (3) в (4) и интегрируя по частям с применением теоремы Гаусса, с учетом (1) и (2) получим

$$\Delta V = \frac{en_0}{K} \int \varphi dV = \frac{K_e}{Kn_0} \Delta Z \quad (5)$$

Здесь

$$K_e = 4\pi (en_0/q_{TF})^2 = n_0^2/D(\varepsilon_F) \quad (6)$$

— модуль всестороннего сжатия электронного газа [10]. Величина (5), очевидно, представляет собой только часть полного изменения объема металла Ω , вызываемого наличием в нем одного ТД. Другая же часть Ω_0 , не связанная с зарядом ТД, обусловлена сугубо размерным эффектом [5], сводящимся в конечном итоге также к действию сил электрического происхождения. Таким образом, имеем

$$\Omega = \Omega_0 + (K_e/Kn_0) \Delta Z. \quad (7)$$

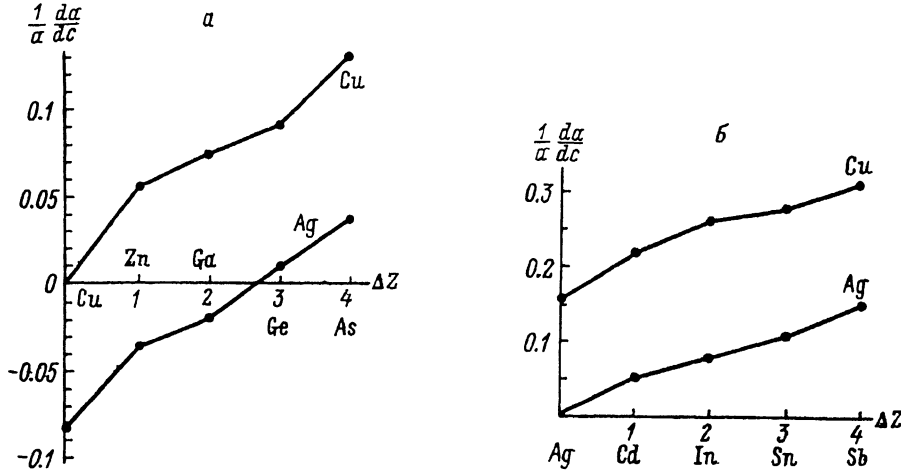
Отнесенная к атомному объему растворителя V_h , величина Ω может быть экспериментально определена по зависимости среднего значения постоянной a кристаллической решетки металла от атомной концентрации c примеси [9]

$$\frac{\Omega}{V_h} = 3 \left(\frac{1}{a} \frac{da}{dc} \right). \quad (8)$$

Из (7) и (8) следует пропорциональность величины $a^{-1}da/dc$ избыточной валентности ТД. Этот вывод подтверждается экспериментальными данными [13] о зависимости относительного изменения параметра решетки меди и серебра от избыточной валентности примесных атомов замещения (см. рисунок, а, б). Апробированные примеси удобны в том отношении, что радиусы атомов Cu, Zn, Ga, Ge, As можно считать приближенно одинаковыми, так как они расположены друг за другом в пределах одного и того же периода таблицы Менделеева. То же самое относится и к группе атомов Ag, Cd, In, Sn, Sb. Поэтому изменение среднего межатомного расстояния должно определяться в этом случае в основном возрастанием разности валентностей примесных и матричных атомов, что хорошо видно из рисунка, а, б. Небольшой разброс в экспериментальных точках объясняется различием радиусов атомов в пределах одного периода таблицы Менделеева, так как величина Ω_0 , хотя и не зависит от ΔZ , но, как и последняя, определяется для конкретной примеси своим значением. С целью сопоставления предсказываемых теорией и экспериментальных значений углов наклона a графиков на рисунке, а, б запишем, согласно формулам (7) (8), тангенс этого угла в виде

$$\operatorname{tg} \alpha = K_e / 3KZ_h, \quad (9)$$

где $Z_h = n_0 V_h$ — валентность атомов матрицы, равная единице для Cu и Ag. Соответственно укажем ([10], табл. 2.2) измеренные значения $K(\text{Cu}) = 134.3 \cdot 10^{10}$, $K(\text{Ag}) = 99.9 \cdot 10^{10}$ дин/см² и рассчитанные для газа свободных электронов значения $K_e(\text{Cu}) = 63.8 \cdot 10^{10}$, $K_e(\text{Ag}) = 34.5 \cdot 10^{10}$ дин/см². Во-первых, отметим, что модель свободных электронов, согласно приведенным в [10] (табл. 2.3) экспериментальным данным, занижает в формуле (6) значение K_e для Cu и Ag соответственно в 1.3 и 1.1 раза. Во-вторых, учтем, что в более реалистической модели, учитывающей сдвиг дна зоны проводимости в деформированном металле [6, 9], модуль всесторон-



Зависимость относительного изменения параметра решетки Cu и Ag от избыточной валентности примеси Cu, Zn, Ga, Ge, As (a) и примеси Ag, Cd, In, Sn, Sb (б).

нега скатия электронной подсистемы оказывается (см. [14]) в 2.5 раза меньше определяемого формулой (6). В таком случае приведенные выше значения K_e для Cu и Ag необходимо при подстановке в формулу (9) уменьшить соответственно в 3.25 и 2.75 раза. Получаемые при этом значения $\operatorname{tg} \alpha(\text{Cu}) = 0.05$ и $\operatorname{tg} \alpha(\text{Ag}) = 0.04$, как нетрудно убедиться, находятся в пределах разброса экспериментальных данных (см. рисунок, а, б). Таким образом, имеется не только хорошее качественное, но и количественное согласие теории с экспериментом.

Переходя теперь непосредственно к анализу различных вкладов в $E_{\text{вз}}$, рассмотрим энергию размерного взаимодействия первого порядка, являющуюся наиболее важной частью упругого взаимодействия между ТД и краевой компонентой дислокации [5].

$$E_{\text{вз}}^{(1)} = -K\Omega u_{ll}(r_i). \quad (10)$$

Здесь $u_{ik}(r_i)$ — тензор деформации, вызываемой дислокацией в точке нахождения дефекта. Подставляя в (10) вместо Ω выражение (7), получим

$$E_{\text{вз}} = -K\Omega_0 u_{ll}(r_i) - \lambda \Delta Z u_{ll}(r_i), \quad (11)$$

где $\lambda = K_e/n_0$ — так называемая константа деформационного потенциала, равная $2/3 \varepsilon_F$ в модели свободных электронов и $4/15 \varepsilon_F$ при учете влияния деформации на дно зоны проводимости [6, 9]. Второе слагаемое в правой части (11) совпадает с энергией «электростатического» взаимодействия между дислокацией и ТД, определяемой в рамках электронной теории металлов из анализа полной энергии электрического поля [7, 8]. Здесь же эта энергия получена нами исходя непосредственно из теории упругости и естественным образом возникает как составная часть энергии «упругого» взаимодействия. То же самое имеет место и в отношении квадратичного

по заряду ТД слагаемого в энергии «электростатического» взаимодействия, отмеченного впервые в [15] и более подробно проанализированного в [8]. Действительно, при учете кубических по деформации членов в упругой энергии при анализе взаимодействия дислокации с ТД появляется размерное взаимодействие второго порядка [5], энергия которого $E_{\text{вз}}^{(2)}$ содержит слагаемое

$$(L + N/9)(\Omega/V_h)^2 u_{ll}(r_i), \quad (12)$$

квадратичное по «мощности» ТД и зависящее от упругих констант третьего порядка L и N . Выражая в (12) Ω , согласно (7), и расписывая квадрат суммы, видим, что в $E_{\text{вз}}^{(2)}$ присутствует член $\sim (\Delta Z)^2$, аналогичный по своей природе энергии электростатического взаимодействия второго порядка [8]. При этом также имеется слагаемое $\sim \Omega_0 \Delta Z$, отвечающее электроразмерному взаимодействию в [8]. Указанные вклады в энергию взаимодействия дислокации с ТД с точки зрения теории упругости обусловлены участием электронной подсистемы металла в формировании его нелинейных упругих свойств.

Из приведенного выше доказательства единой природы упругого и электростатического взаимодействия дислокаций с ТД следует, что вопрос об изменении $E_{\text{вз}}$ в условиях ЭПД сводится по существу к исследованию влияния внешних полей на модули упругости металла и геометрические характеристики взаимодействующих дефектов.

2. Влияние электрического тока и магнитного поля на экранирование электронами заряда точечного дефекта

В связи с тем что связанное с зарядом ТД изменение объема металла (5) определяется через экранированный потенциал φ , проанализируем вначале непосредственное влияние тока на функцию экранированной электронной реакции $\chi_{\text{экп}}(\mathbf{q})$ [16]. С помощью этой функции Фурье-образ $\varphi(\mathbf{q})$ потенциала точечного заряда в металле записывается в виде

$$\varphi(\mathbf{q}) = 4\pi e \Delta Z / (q^2 - 4\pi e^2 \chi_{\text{экп}}(\mathbf{q})). \quad (13)$$

В рассматриваемой задаче представляет интерес лишь длинноволновая асимптотика функции $\chi_{\text{экп}}(q)$, поскольку, согласно (5),

$$\Delta V = \frac{en_0}{K} \lim_{q \rightarrow 0} \frac{1}{4\pi} \int \varphi(\mathbf{q}) dO_{\mathbf{q}}. \quad (14)$$

В таком случае в силу выполнения неравенства $ql \ll 1$, где l — длина свободного пробега электронов, можно воспользоваться макроскопическим описанием движения электронного газа [17]. Внесем в него макроскопически неоднородный пробный электрический заряд с плотностью $\delta \rho_{\text{ext}}$, вызывающий отклонение локальной концентрации электронов n от ее равновесного значения n_0 на величину δn . Возмущающее действие этого заряда на движение электронного газа в однородном электрическом поле E_0 характеризуется термодинамической силой $-\nabla(\mu - e\delta\varphi)$ [18], где μ — зависящий от n химический потенциал электронов; $\delta\varphi$ — экранированный потенциал пробного заряда, удовлетворяющий уравнению Пуассона

$$\Delta \delta\varphi = -4\pi [\delta\rho_{\text{ext}} - e\delta n]. \quad (15)$$

Макроскопическая скорость v электронного газа при наличии рассматриваемого возмущения, согласно закону течения Ньютона, определяется формулой

$$v = -\frac{\tau}{m} [eE_0 + \nabla(\mu - e\delta\varphi)], \quad (16)$$

где m — масса электрона, $\tau = l/v_F$ — время релаксации электронного импульса, v_F — фермиевская скорость. Заменяя v , согласно (16), в уравнении непрерывности

$$\operatorname{div}(\mathbf{n}\mathbf{v}) = 0,$$

в линейном по возмущению приближении с учетом определения (2) и уравнения (15) получим

$$\Delta \delta n + \mathbf{q}_0 \cdot \nabla \delta n - q_{TF}^2 \delta n = -\frac{q_{TF}^2}{e} \delta \rho_{ext}. \quad (17)$$

Здесь введено обозначение

$$\mathbf{q}_0 = \frac{q_{TF}^2}{4\pi e n_0} \mathbf{E}_0 = -\frac{3\mathbf{v}_0}{v_F l}, \quad (18)$$

где $\mathbf{v}_0 = -\tau e \mathbf{E}_0 / m$ — дрейфовая скорость электронов. Исключая $\delta \rho_{ext}$ из уравнений (15) и (17) и производя Фурье-преобразование полученного при этом уравнения, найдем $\chi_{\text{экр}}(\mathbf{q})$ как коэффициент пропорциональности в линейной связи между $\delta n(\mathbf{q})$ и $-e\delta\varphi(\mathbf{q})$ [16]

$$\chi_{\text{экр}}(\mathbf{q}) = -\frac{q_{TF}^2}{4\pi e^2} (1 - i\mathbf{q}_0 \cdot \mathbf{q}/q^2)^{-1}. \quad (19)$$

Подстановка (13) в (14) с использованием выражения (19) после интегрирования по телесному углу в \mathbf{q} -пространстве и выполнения предельного перехода $q \rightarrow 0$ приводит к результату

$$\Delta V = \frac{K_e \Delta Z}{Kn_0} \left(1 + \frac{q_0^2}{3q_{TF}^2} \right),$$

отличающемуся от результата (5) в отсутствие тока поправкой, относительная величина которой $q_0^2/3q_{TF}^2$, как видно из (18), ничтожно мала в силу выполнения всегда неравенств $v_0 \ll v_F$ и $q_{TF}^2 \gg 1$.

Сопутствующее току магнитное поле в принципе также оказывает влияние на экранирование электронами заряда ТД. Изменение экранирующих свойств идеального электронного газа в магнитном поле H подробно проанализировано в [18]. В низком магнитном поле $H \ll \epsilon_F/\mu_B$, где μ_B — магнетон Бора, в пренебрежении малым при $T \ll \epsilon_F$ температурным, эффектом константа экранирования уменьшается на величину $1/24 (\mu_B H / \epsilon_F)^2 q_{TF}$. Для обычно используемой в экспериментах по ЭПД плотности тока $j \sim 10^3 \text{ A/mm}^2$ и радиусе поперечного сечения проводника $R \sim 1 \text{ мм}$ [1-4] относительное изменение q_{TF} , оцененное по формуле $(\mu_B R / c \epsilon_F)^2$, где c — скорость света, оказывается $\sim 10^{-12}$. В промежуточных полях и ультраквантовом пределе константа экранирования обнаруживает анизотропию. Поперечный волновой вектор экранирования колеблется при средних полях и возрастает до значения q_{TF} в ультраквантовом пределе, превосходя его при полях $H \sim \epsilon_F/\mu_B$. Константа же экранирования в продольном направлении уменьшается монотонно, оставаясь все время меньше поперечной компоненты, но изменяясь в ультраквантовом пределе значительно медленнее последней. Режимы этих полей не могут быть пока достигнуты в условиях ЭПД, поскольку необходимая плотность тока $j \sim c \epsilon_F / \mu_B R \sim 10^7 \text{ A/mm}^2$ значительно превосходит имеющиеся экспериментальные возможности.

Однако рассматриваемый эффект может быть небезинтересен в тех случаях, когда магнитное поле в деформируемом образце создается не пропусканием через него тока, а внешними сверхпроводящими устройствами. В связи с обсуждавшейся ранее зависимостью коэффициента электронного торможения дислокаций от величины магнитного поля в ультраквантовом пределе [20] здесь кстати следует отметить, что изменение в этом случае энергии взаимодействия дислокаций с ТД через рассмотренную выше зависимость этой энергии от константы экранирования является гораздо более сильным эффектом в изменении подвижности дислокаций.¹ Это связано с тем, что изменение величины $E_{\text{вз}}$ непосред-

¹ Этим замечанием авторы обязаны В. Д. Нацуку.

ственno сказывается на изменении энергии активации движения дислокаций, входящей в показатель экспоненты в формуле Аррениуса, в то время как изменение коэффициента демпфирования дислокаций может влиять лишь на предэкспоненциальный фактор в указанной формуле [21].

Отметим еще одну причину изменения константы экранирования, а вместе с ней и E_{ss} , в металле с током, связанную с так называемым пинч-эффектом [2, 3]. Дилатация элементов объема металла под действием пондеромоторных сил составляет величину $\sim H^2/4\pi K$. Поскольку $q_{TF} \sim n^{1/3}$, то увеличение локальной концентрации электронов в результате сжатия приведет к увеличению константы экранирования на $1/\sqrt[3]{n} (H^2/K) q_{TF}$. Этот эффект в $e_F^2/\pi\mu_B^2 K \sim 10^6$ раз больше указанного выше относительного уменьшения q_{TF} в низком магнитном поле, обычно реализуемом в экспериментах по ЭПД.

3. Влияние магнитного поля на взаимодействие дислокаций с парамагнитной примесью

В отличие от рассмотренных выше случаев существенно иное положение возникает, если в металле имеются примеси, обладающие локализованным магнитным моментом, поскольку в этом случае следует принять во внимание обменное взаимодействие электронов проводимости с электронами позастроенных оболочек примесных ионов. В соответствии с принятым способом описания обменного взаимодействия [22] изменение его энергии в магнитном поле определяется формулой

$$\Delta E_{\text{ob}} = - \int J(\mathbf{r} - \mathbf{r}') S_i(\mathbf{r}) \cdot S_H(\mathbf{r}') dV dV', \quad (20)$$

где $J(\mathbf{r} - \mathbf{r}')$ — эффективный $s-d$ -обменный интеграл, учитывающий как прямой обмен электрона проводимости с ионом, так и косвенный обмен через индуцированную парамагнитным ионом спиновую плотность электронов проводимости; $S_i(\mathbf{r})$ — полная спиновая плотность, связанная с ионом примеси; $S_H(\mathbf{r})$ — спиновая плотность, индуцируемая внешним магнитным полем \mathbf{H} в отсутствие примесного иона. Последняя величина, обусловленная парамагнетизмом Паули, равна [10, 23]

$$S_H(\mathbf{r}) = \mu_B \mathbf{H} D(\varepsilon_F'). \quad (21)$$

Здесь ε_F' отвечает локальной концентрации электронов n в присутствии дислокации. Замечая, что $D(\varepsilon_F') \sim n^{1/3}$, тогда как $n = n_0(1 - u_{ll})$, в линейном по дилатации приближении из (21) будем иметь

$$S_H(\mathbf{r}) = \mu_B \mathbf{H} D(\varepsilon_F) \left[1 - \frac{1}{3} u_{ll}(\mathbf{r}) \right].$$

Подставляя это выражение в (20) и отделяя зависимую от дилатации часть, для искомого изменения энергии E_{ss} получим

$$\Delta E_{\text{ss}} = \frac{1}{3} \mu_B D(\varepsilon_F) \int J(\mathbf{r} - \mathbf{r}') \mathbf{H} \cdot S_i(\mathbf{r}) u_{ll}(\mathbf{r}') dV dV'. \quad (22)$$

Представим здесь обменный интеграл в виде ряда Фурье

$$J(\mathbf{r} - \mathbf{r}') = \frac{1}{N_e} \sum_{\mathbf{q}} J(\mathbf{q}) e^{i\mathbf{q} \cdot (\mathbf{r} - \mathbf{r}')}, \quad (23)$$

где N_e — число электронов в металле, а коэффициенты разложения $J(\mathbf{q})$ имеют размерность энергии и составляют величины порядка электрон-вольта [22]. Тогда формулу (22) после подстановки (23) можно записать в виде

$$\Delta E_{\text{ss}} = \frac{\mu_B D(\varepsilon_F)}{3N_e} \sum_{\mathbf{q}} J(\mathbf{q}) \mathbf{H} \cdot S_i(\mathbf{q}) u_{ll}^*(\mathbf{q}), \quad (24)$$

также $S_i(\mathbf{q})$, $u_{ii}(\mathbf{q})$ представляют собой Фурье-образы соответствующих функций. В отношении первой из них заметим, что она локализована в области пространства объемом $\sim a^3$ и поэтому ее можно определить как

$$S_i(\mathbf{r}) = S_i \delta(\mathbf{r} - \mathbf{r}_i).$$

В таком случае, учитывая в (24), что $S_i(\mathbf{q}) = S_i \exp(-i\mathbf{q} \cdot \mathbf{r}_i)$, и пре-
небрегая, как это обычно делается, зависимостью от \mathbf{q} величины $J(\mathbf{q})$,
придем к следующему результату:²

$$\Delta E_{\text{вз}} = \frac{JD(\varepsilon_F)}{3n_0} \mu_B H \cdot S_i u_{ii}(\mathbf{r}_i). \quad (25)$$

В первую очередь обращает на себя внимание тот факт, что рассматриваемая здесь величина $\Delta E_{\text{вз}}$ линейно зависит от напряженности магнитного поля, в связи с чем данный эффект при полях $H \ll \varepsilon_F/\mu_B$ преобладает над обсуждавшимся выше квадратичным по параметру $\mu_B H/\varepsilon_F$ эффектом изменения энергии взаимодействия дислокации с заряженным ТД. Учитывая типичное значение константы обменного взаимодействия $J \sim 1$ эВ, найдем, что безразмерный параметр $JD(\varepsilon_F)S_i/3n_0$ порядка единицы. В таком случае из сравнения формулы (25) с формулой (11) вытекает следующая оценка для относительной величины изменения в магнитном поле энергии взаимодействия дислокации с парамагнитной примесью

$$\Delta E_{\text{вз}}/E_{\text{вз}} \sim \mu_B H/\varepsilon_F.$$

При достижимых в настоящее время полях в несколько сотен кило-эрстед относительная величина эффекта может составлять одну тысячную, что при учете чувствительности термоактивируемого движения дислокаций к небольшим изменениям энергии активации вполне доступно регистрации в экспериментах по ползучести, релаксации напряжений и внутреннему трению.

Л и т е р а т у р а

- [1] Троицкий О. А. ДАН СССР, 1980, т. 251, № 2, с. 400—403.
- [2] Okazaki K., Kagawa M., Conrad H. Scr. Met., 1979, vol. 13, p. 473—477.
- [3] Слицин В. И., Троицкий О. А. Электроупругая деформация металлов. М.: Наука, 1985. 160 с.
- [4] Sprecher A. F., Mannan S. L., Conrad H. Acta Metall., 1986, vol. 34, N 7, p. 1145—1162.
- [5] Баллоу Р., Ньюмен Р. В кн.: Термические активированные процессы в кристаллах. М.: Мир, 1973, с. 75—145.
- [6] Cottrell A. H., Hunter S. C., Nabarro F. R. N. Phil. Mag., 1953, ser. 7, vol. 44, N 357, p. 1064—1067.
- [7] Sugiyama A. J. Phys. Soc. Jap., 1966, vol. 21, N 10, p. 1873—1880.
- [8] Паль-Валь Л. Н., Платков В. Я., Рошупкин А. М. ФНТ, 1981, т. 7, № 4, с. 504—516.
- [9] Фрироль Ж. Дислокации. М.: Мир, 1967. 644 с.
- [10] Ашкрофт Н., Мермин Н. Физика твердого тела. М.: Мир, 1979, т. 1. 400 с.
- [11] Конторович В. М. В кн.: Электроны проводимости. М.: Наука, 1985, с. 44—100.
- [12] Косевич А. М. Физическая механика реальных кристаллов. Киев: Наукова думка, 1981. 328 с.
- [13] Blatt F. J. Phys. Rev., 1957, vol. 108, p. 285—290.
- [14] Батаронов И. Л., Рошупкин А. М., Рудый С. Д. ФНТ, 1986, т. 12, № 2, с. 127—133.
- [15] Корнишин Ю. В. ФММ, 1970, т. 29, № 3, с. 659—661.
- [16] Пайнс Д., Нозерь Ф. Теория квантовых жидкостей. М.: Мир, 1967. 384 с.
- [17] Ландау Л. Д., Либшиц Е. М. Физическая кинетика. М.: Наука, 1979. 528 с.
- [18] Ландау Л. Д., Либшиц Е. М. Электродинамика сплошных сред. М.: Наука, 1982. 624 с.
- [19] Biot F. A. Phys. Rev. B: Sol. St., 1976, vol. 14, N 3, p. 977—989.
- [20] Гришин А. М., Канер Э. А., Фельдман Э. П. ЖЭТФ, 1976, т. 70, № 4, с. 1445—1462.
- [21] Каганов М. И., Кравченко В. Я., Нацик В. Д. УФН, 1973, т. 111, № 4, с. 655—682.

² Предположение о том, что в магнитном поле понижаются барьеры, связанные с парамагнитными примесями, высказывалось ранее в работах [24, 52].

- [22] Харрисон У. Теория твердого тела. М.: Мир, 1972. 616 с.
- [23] Займан Дж. Принципы теории твердого тела. М.: Мир, 1974. 472 с.
- [24] Дистлер Г. И., Каневский В. М., Москвин В. В. и др. ДАН СССР, 1983, т. 268, № 3, с. 591—593.
- [25] Альшиц В. И., Даринская Е. В., Перекалина Т. М., Урусовская А. А. ФТТ, 1987, т. 29, № 2, с. 467—471.

Воронежский
политехнический институт
Воронеж

Поступило в Редакцию
30 марта 1987 г.
В окончательной редакции
1 июня 1988 г.
